

河套灌区春小麦-萝卜复种模式下土壤 NO_3^- -N 动态

冯兆忠, 王效科*, 冯宗炜

(中国科学院生态环境研究中心系统生态国家重点实验室, 北京 100085)

摘要: 研究了河套灌区春小麦-萝卜复种模式下, 土壤、土壤溶液和地下水 NO_3^- -N 浓度的动态变化。结果表明: 随着试验时间的延长, 土壤表层 NO_3^- -N 含量降低, 深层(100~150cm)增加; 土壤溶液中、下层 NO_3^- -N 浓度(70、120cm)显著高于上层(30cm), 尤其是在萝卜生长季。当前的灌溉条件下, 不同年度、不同生长季土壤 NO_3^- -N 淋失量的多少与土壤水分的下渗量密切相关, 且输入的氮素中有 30% 以上以 NO_3^- -N 的形式淋失掉。施肥区地下水 NO_3^- -N 浓度显著高于未施肥区, 且 65.5% 的水样超过 WHO 规定的上限(11.3mg/L)。总之, 经过连续 2a 的春小麦与萝卜复种可使表层土壤 NO_3^- -N 含量明显降低, 但由于中、下层土壤剖面中残留大量的 NO_3^- -N, 因此在当前灌溉措施下, 短期内 NO_3^- -N 淋失是不可避免的。

关键词: NO_3^- -N 淋失; 春小麦-萝卜复种; 地下水; 干旱地区; 河套灌区

中图分类号: X171.1; S158.2 文献标识码: A 文章编号: 0250-3301(2006)06-1223-06

NO₃⁻-N Dynamics in a Spring Wheat and Radish Multiple Crop System in the Hetao Irrigation District

FENG Zhao-zhong, WANG Xiao-ke, FENG Zong-wei

(State Key Laboratory of Systems Ecology, Research Center for Eco-Environmental Sciences, Chinese Academy of Sciences, Beijing 100085, China)

Abstract: The NO_3^- -N dynamics of the soil, soil solution and groundwater were studied under spring wheat and radish multiple crop system in Hetao Irrigation District over two years. A strong tendency of NO_3^- -N to move from upper layer to deeper layer could be observed and soil NO_3^- -N was increased at the layer of 100~150cm. NO_3^- -N concentration of soil solution at the depth of 70 and 120 cm was significantly higher than that at the depth of 30 cm, especially in the radish growth season. NO_3^- -N leaching amount was correlated with deep percolation at both different crop growth seasons and different years and it accounted for higher than 30% of total N input across two years. In the fertilizer plot, the concentration of NO_3^- -N in groundwater was far higher than that in the non-fertilizer plot, and 65.5% samples were over the safe standard of WHO (11.3mg/L) in the fertilizer plot. The topsoil NO_3^- -N content was markedly decreased during the two years multiple crop system. However, NO_3^- -N leaching was inevitable in the near future due to a large amount of residual NO_3^- -N in the middle and deeper soil profiles.

Key words: NO_3^- -N leaching; spring wheat and radish multiple crop system; groundwater; arid areas; Hetao Irrigation District

在农田生产系统中, 氮肥是影响作物产量的最活跃的因素之一。为了提高单位土地面积的粮食产量, 满足人口对农产品的需求, 农田氮肥的使用量逐年增长。目前我国氮肥使用量已跃居世界第一, 单位面积的施用量也高于世界平均水平, 但氮肥利用率仅为 30%~41%^[1]。研究表明: 施入的氮肥除一部分被作物吸收外, 大部分以 NO_3^- -N 淋溶、反硝化、 NH_3 挥发等途径从土壤中损失掉, 其中 NO_3^- -N 淋溶对地下水(饮用水源)的污染倍受关注^[2]。根据 Bin 等^[3]用模型预测的结果, 在自然生态系统中, 淋失的 NO_3^- -N 仅为 $10\text{kg}/(\text{hm}^2 \cdot \text{a})$, 然而在农田生态系统中, 随着施氮量的增加, 硝态氮的淋失量可达到 $20\text{kg}/(\text{hm}^2 \cdot \text{a})$, 特别是美国、欧洲和我国的有些地区最大硝态氮淋失量可达 $133\text{kg}/(\text{hm}^2 \cdot \text{a})$ 。许多研

究者试图通过轮作、间作等农艺措施降低土壤 NO_3^- -N 的含量, 结果表明玉米-大豆、小麦-大豆、水稻-小麦轮作等都可明显减少 NO_3^- -N 的淋失^[4~6], 但复种模式能否减少 NO_3^- -N 的淋溶鲜见报道。本文以河套灌区春小麦-萝卜复种为例, 探讨了干旱地区灌溉农业下土壤、土壤溶液及地下水 NO_3^- -N 浓度的动态变化, 为当地水环境保护提供科学依据。

1 材料与方法

1.1 自然概况

收稿日期: 2005-06-06; 修订日期: 2005-09-14

基金项目: 国家自然科学基金项目(30070149); 国家自然科学基金委创新群体项目(40321101)

作者简介: 冯兆忠(1976~), 男, 博士, 助理研究员, 主要研究方向为污染生态与农业生态学。

* 通讯联系人

内蒙古河套灌区是中国三大灌区之一,地处北纬 $40^{\circ}19' \sim 41^{\circ}18'$,东经 $106^{\circ}20' \sim 109^{\circ}19'$,年降水量 $139 \sim 222\text{mm}$,且集中在7~8月间。年蒸发量达 $2200 \sim 2400\text{mm}$,蒸降比在10以上,年均温 $6 \sim 8^{\circ}\text{C}$,全年封冻期5~6个月,无霜期 $135 \sim 150\text{d}$,年均日照时数 $3100 \sim 3300\text{h}$,属于典型的大陆性气候。该地区主要作物是春小麦、玉米、葵花(油葵和花葵),耕作方式为单种、套种和复种,氮肥施用量按纯氮计一般每年可达到450到 $600\text{kg}/\text{hm}^2$ 。试验土壤为沙壤土,基本理化性质如下:容重 $1.51\text{g}/\text{cm}^3$,pH(H_2O)为8.7,有机碳1.02%,总氮0.94%,碱解氮 $104.1\text{mg}/\text{kg}$,速效P $55.4\text{mg}/\text{kg}$,速效K $121.1\text{mg}/\text{kg}$,属于高肥力土壤。

1.2 试验设计

以春小麦(*Triticum aestivum* L.)和萝卜(*Raphanus sativus* L.)为供试作物,于2002-03~2003-10进行,共4个生长周期。春小麦品种为永粮-4号,该品种抗盐性强,灌浆快,生育期100d左右,是解放闸灌域大面积种植的当家品种。2002年施用的底肥为磷酸二铵(N 18%, P₂O₅ 46%),在追肥时施用硝铵(N 35%)。2003年底肥为磷酸二铵,在追肥时施用尿素(N 46%)。磷钾肥全部基施,施肥量为P₂O₅: $388\text{kg}/\text{hm}^2$, K₂O: $150\text{kg}/\text{hm}^2$ 。2002年按照当地施肥时期施肥,施肥量也按照当地的习惯。2003年施肥分为基肥和追肥(拔节期灌溉时地表撒施或块茎膨大期)2次施入,基肥占总施氮量的40%,耕前撒施。试验期间的施肥量、施肥时期、供水量见表1和表2。试验区面积为 $5\text{m} \times 3\text{m} = 15\text{m}^2$,3个重复。在每个小区深100cm周围用塑料布圈住,防止小区间水分和养分的相互流动。在实验开始前于每个试验小区中间安装200cm长的TDR探管来监测不同土壤剖面水分的变化。分别在地表以下30cm、70cm、120cm深度竖埋陶瓷头吸取杯(直径1.5cm,长5cm),并且每个陶瓷头相距15cm,尽可能地靠近TDR。通过这3个吸取杯获得的土壤溶液,分别代表来自于20~40、60~80、110~130cm土层的土壤溶液。在灌溉后3~5d,抽取不同土层的土壤溶液,溶液经过 $0.45\mu\text{m}$ 的滤膜后,于 -20°C 冷冻保存。2002-08分别在小区内外建设了2座地下水观测井,用于监测地下水位和NO₃⁻-N浓度的变化。

1.3 取样方法

2002年分别在春小麦播种前、拔节期、收获期,萝卜块茎膨大期、收获期共取土5次进行土壤NO₃⁻-N的测定。采样深度为0~150cm,按照0~

表1 不同年度的施肥时期和施氮量/ $\text{kg} \cdot \text{hm}^{-2}$

Table 1 Nitrogen application time and rates at different years/ $\text{kg} \cdot \text{hm}^{-2}$

年份	春小麦				萝卜		
	播前	拔节期	开花期	合计	播前	膨大期	合计
2002	55	100	70	225	30	130	160
2003	90	135	0	225	0	120	120

表2 试验期间的降雨量和灌溉量/mm

Table 2 Precipitation and irrigation in crop growth season/mm

年份	作物	降雨量	灌水量	总供水量
2002	春小麦	96.3	384	480.3
	萝卜	29.1	236	265.1
2003	春小麦	57.5	292	349.5
	萝卜	86.9	331	417.9

20, 20~40, 40~60, 60~80, 80~100, 100~120, 120~150cm的土壤层次,每个小区随机取2钻,相同层次的土壤混合为1个样。土壤溶液从5月中旬第一水灌溉完开始,平均15~20d抽取1次,全年共取10次。在抽取时利用手泵抽负压至90Pa,15h后收回溶液进行NO₃⁻-N的分析。2003年土壤样品NO₃⁻-N的测定分别在春小麦播种前、拔节期、收获期、萝卜块茎膨大期、秋浇后(收获期)共5次,采样深度同2002年。土壤溶液的抽取及测定项目同2002年。

1.4 分析方法

1.4.1 土壤水分的测定

利用TRIME-FM型TDR(德国)测定,每20cm为一层次,直至140cm。2002年每5d测定1次,灌溉时每天测定1次,大的降雨时加测。2003年每7d测定1次,大的降雨、灌溉时每天测定1次,直至数据变化幅度低于5%。

1.4.2 土壤NO₃⁻-N的测定

样品取后用自封袋封好,冰冻保存。样品测定时先解冻,2mol/L KCl浸提60min后过滤,滤液立即在紫外分光光度计220nm和275nm比色,同步测定土壤含水率(烘干法)。

1.4.3 土壤溶液NO₃⁻-N的测定

土壤溶液NO₃⁻-N的测定采用紫外分光光度法。

1.5 结果计算

1.5.1 土壤水分下渗量的计算

土壤水分下渗量计算采用土壤水分质量平衡法。即在某一时段内,一定面积和一定土层厚度的各来水项和去水项应该相等。其方程可简单地表达为式(1):

$$P + I = D + ET + \Delta W \quad (1)$$

式中: ΔW 为平衡土层内土壤储水量变化(mm), 数据来自 TDR 的测定结果; P 为降水量(mm); I 为灌水量(mm); D 为渗漏水量(mm); ET 为实际蒸散量(mm), 根据 Penman-Monteith 公式计算参考作物蒸散量(ET_0), 然后根据作物不同生长阶段的 K_c , 计算出实际蒸散量(ET). 即:

$$ET = ET_0 \times K_c \quad (2)$$

1.5.2 NO_3^- -N 淋失量的计算

土壤 NO_3^- -N 淋失量计算公式为:

$$L_N = 0.1 \times D \times c_{\text{NO}_3^-}\text{-N} \quad (3)$$

其中: D 为土壤水分下渗量(mm); $c_{\text{NO}_3^-}\text{-N}$ 为 120cm 深度处土壤溶液的 NO_3^- -N 浓度; 0.1 为单位转换系数.

2 结果与讨论

2.1 土壤 NO_3^- -N 含量的动态变化

由图 1 可见, 试验前表层土壤 NO_3^- -N 含量较高, 随着土壤深度的增加, NO_3^- -N 含量降低, 但在 60~80cm 达到最高值, 随后又降低, 说明 NO_3^- -N 主要积累在 60~80cm 处. 2002 年在春小麦拔节期灌溉追肥后(播种后 62d), 除 20~40cm 外, 其它剖面 NO_3^- -N 含量明显增加. 但由于在 2003-05-27 取样前进行了 2 次灌溉(共 146mm), 使得拔节期追肥不但没有增加表层 NO_3^- -N 含量, 反而明显低于播种前, 且 NO_3^- -N 累积高峰向下迁移了 20cm, 说明灌溉是引起干旱地区土壤 NO_3^- -N 向深层迁移的主要因素. 随着春小麦生长速度的加快, 其对氮素的吸收强度逐渐增大, 收获期(112d 和 07-25) 表层土壤 NO_3^- -N 含量低于播种前, 在 100cm 以下, NO_3^- -N 发生了累积. 由于 2002 年在萝卜播种前与块茎膨大期进行了 2 次灌溉施肥(表 1), 因此 168d 的结果显示, NO_3^- -N 累积高峰由 60~80cm 向下移动了 20cm, 且出现了明显的次高峰(40~60cm); 但 2003 年追肥并未引起 NO_3^- -N 含量的明显增加, 这一方面由于萝卜播种前只灌溉未施肥, 另一方面可能因为萝卜是浅根系作物, 对土壤养分的利用只在耕作层. 秋浇(212d 和 09-30) 引起土壤表层 NO_3^- -N 含量下降, 深层 NO_3^- -N 含量升高, 其中 2002 年土壤 NO_3^- -N 含量在 80cm 以下达到 1a 来所测定的最高值, 说明秋浇引起大量 NO_3^- -N 向土壤深层迁移并发生了淋失. 总的来看, 2003 年不同土壤剖面

NO_3^- -N 含量比 2002 年低, 尤其是萝卜生长季.

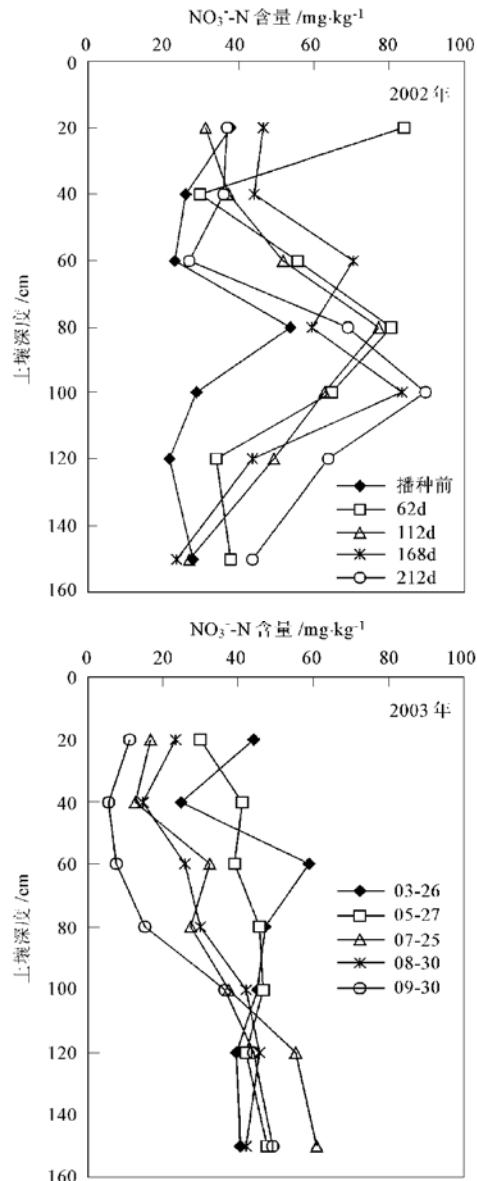


图 1 不同土壤深度 NO_3^- -N 含量的动态变化

Fig. 1 Dynamics of soil NO_3^- -N in different soil depths

2.2 土壤溶液 NO_3^- -N 浓度的动态变化

由图 2 可见, 随着试验时间的延长, NO_3^- -N 在土壤中的迁移规律不同. 2002 年各个土壤层次的 NO_3^- -N 浓度呈波浪式变化, 并且 30cm 与 70cm 处土壤溶液 NO_3^- -N 的平均浓度分别为 177.9mg/L 和 184.5mg/L, 显著高于下层 120cm 处 (116.2mg/L). 经过 1a 耕作后, 30cm 处 NO_3^- -N 平均浓度仅为 83.1mg/L, 显著低于 70cm 和 120cm 处 (158.3mg/L 和 153.9mg/L), 尤其是在萝卜生长季 (07-19 之后), 这种变化趋势更加明显. 另外, 不同土壤深度的 NO_3^- -N 浓度的年际间变化较大. 与

2002年相比,2003年30cm处的 NO_3^- -N浓度显著下降,为2002年的46.7%;120cm处 NO_3^- -N浓度却显著增加,为2002年的1.32倍,70cm处 NO_3^- -N浓度下降了85.8%,但差异不显著。由图2还可以看出,灌溉后上层 NO_3^- -N浓度降低,而中下层

NO_3^- -N浓度增加,待土壤水分稳定后,上层 NO_3^- -N浓度又有所升高,这可能是土壤蒸发通过毛管水将下层 NO_3^- -N带到上层。秋浇(09-18~09-30)引起了土壤上、中层 NO_3^- -N浓度显著降低。

2.3 NO_3^- -N淋失量

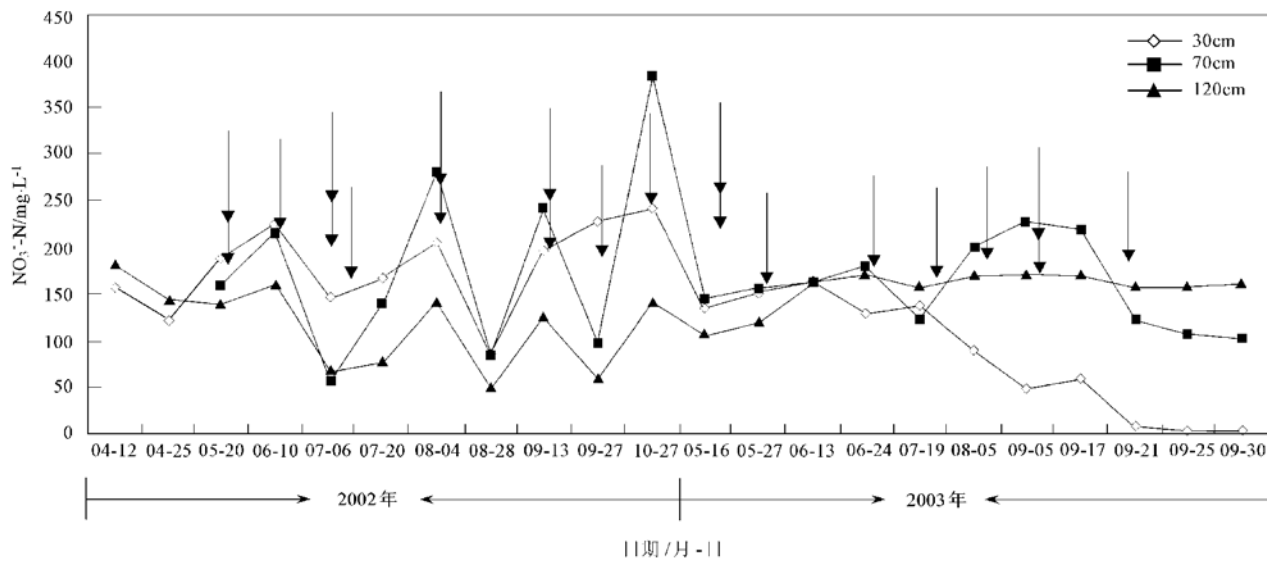


图2 不同土壤深度土壤溶液 NO_3^- -N浓度的动态变化
Fig. 2 Dynamics of NO_3^- -N in soil solution at different soil depths

2.3.1 土壤水分下渗量

在现有的灌溉措施下,土壤水分的渗漏量是相当大的(表3,图3)。2002和2003年春小麦-萝卜复种期间全年总土壤水分渗漏量分别为278.3mm和209.2mm,为地表获得总水量(降雨量+灌溉量)的37.3%和27.3%,为灌溉水量的44.9%和33.6%。由表3可见,不同年份土壤水分下渗量的主要发生时期也不同。2002年主要发生在春小麦生长季,占全年的59.3%,而2003年则为秋浇期间,占全年的44.3%,造成这种差异是由于在2002年小麦生长后期试验田被淹。

从图3可看到,土壤水分渗漏峰值分别出现在2002年7月上旬,2002年7月中下旬,2002年8月初,2002年10月下旬,2003年7月下旬,2003年9月下旬,正好与大的降雨、裸地灌溉、秋浇等相对应,其它时期观测的下渗量也是在相应的灌溉后出现的。另外2a内均发现在萝卜生长期,水分下渗主要发生在播种前的裸地灌溉,这可能与萝卜对水分的吸收较大有关。可见,在当地的灌溉习惯下,土壤水分下渗是很严重的,因此有必要对当前的灌溉措

施进行改善。

表3 试验期间各个生长季及秋浇期间下渗水量/mm

Table 3 Deep percolation during plant growth and autumn irrigation period / mm

年份	小麦	萝卜	秋浇	总计
2002	165.1	69.5	43.7	278.3
2003	62.1	54.4	92.4	209.2

2.3.2 NO_3^- -N淋失量

由表4可见,不同年度 NO_3^- -N淋失量的发生时期不同。2002年 NO_3^- -N淋失主要发生在春小麦和萝卜生长期,分别占总淋失量的35.9%和45.3%;而2003年则为萝卜生长期和秋浇,分别占总量的36.1%和47.4%。2002年 NO_3^- -N淋失量比2003年高31.1%。这一方面是由于2002年土壤溶液中 NO_3^- -N浓度较高,另一方面也与下渗水量较大有关(表3)。表5显示,2002年总输入的氮素为969.2kg/hm²,比2003年低85.8%,且输入的氮素中有30%以上以 NO_3^- -N形式淋失掉。

2.4 地下水 NO_3^- -N浓度的变化

土壤 NO_3^- -N的淋失必然引起地下水 NO_3^- -N

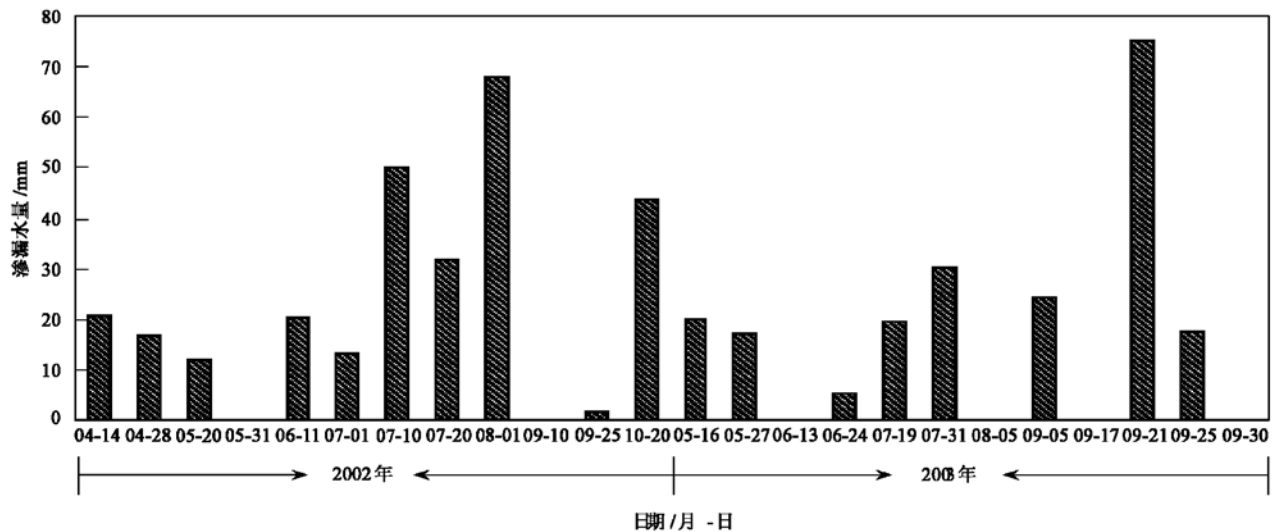


图3 试验期间土壤水分下渗量

Fig. 3 Water percolation amount during the two cycle of a spring wheat and radish cropping

表4 各个生长季及秋浇期间 NO_3^- -N 的淋失量/ $\text{kg} \cdot \text{hm}^{-2}$ Table 4 NO_3^- -N leaching amount during crop growth and autumn irrigation period/ $\text{kg} \cdot \text{hm}^{-2}$

年份	小麦	萝卜	秋浇	总计
2002	172.1	217.1	89.8	479.0
2003	60.6	131.7	173.0	365.3

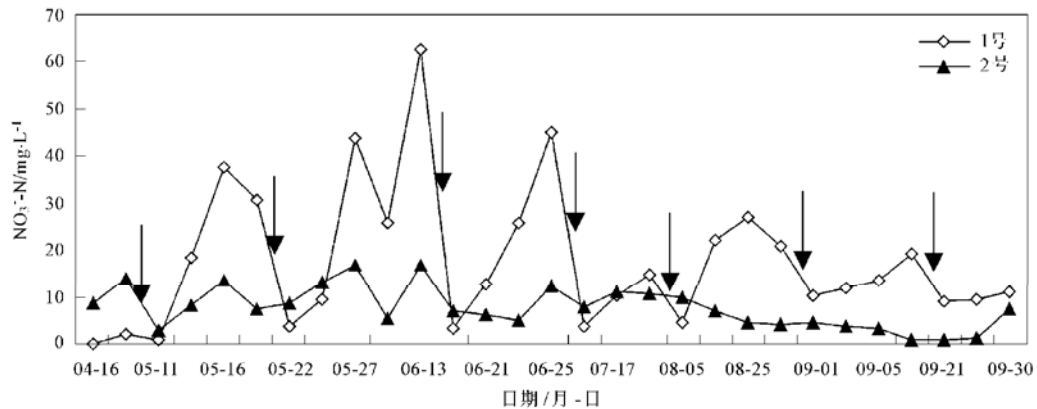
表5 氮素输入与 NO_3^- -N 淋失量/ $\text{kg} \cdot \text{hm}^{-2}$ Table 5 Nitrogen input and NO_3^- -N leaching amount/ $\text{kg} \cdot \text{hm}^{-2}$

年份	施氮量	播前	灌溉水	雨水	N 淋失量
2002	385	562	21.57	1.05	478.9
2003	345	766.7	16.74	1.20	365.3

浓度的升高。在不同时间采集的水样中，1号井(施肥区内)65.5%的水样 NO_3^- -N 浓度超过WHO规定的上限 11.3mg/L ，而2号井(非施肥区内)仅有27.6%(图4)。全年的监测结果2号井水平均值为 $(7.67 \pm 4.48)\text{mg/L}$ ($n = 29$)，明显低于1号井水平均值 $(17.55 \pm 15.02)\text{mg/L}$ ($p < 0.01$)。2口井除施肥外，灌溉和其他生产措施均相同，地下水埋深也无明显差异，可见施肥是地下水 NO_3^- -N 浓度增高的主要原因之一。

2.5 讨论

土壤硝态氮的淋失是农田氮素损失的重要途径

图4 地下水 NO_3^- -N 浓度的动态变化(箭头代表灌溉日期)Fig. 4 Dynamics of NO_3^- -N in groundwater during 2003. Arrows denote irrigation

之一，又是地下水硝酸盐浓度升高的主要原因^[7~9]。许多研究表明，土壤中大量残留硝酸盐及

水分运动是土壤 NO_3^- -N 淋失的必要条件^[9, 10]，而且土壤 NO_3^- -N 的淋失最易发生在施肥后立即灌溉

或大强度的降雨。由于河套灌区长期形成的高施肥量和高灌溉量,因此任一次灌溉都可能引起大量的 NO_3^- -N 从植物根区以下淋失掉。笔者的试验结果显示了该地区土壤 NO_3^- -N 含量较高(图 1,2),这是试验前农民施肥量过高,造成大量的 NO_3^- -N 残留于土壤剖面中,这在当地是比较普遍的。由于近些年来农产品价格不断上涨,高产成为农民的追求目标,因此农民通过盲目的大量施肥来增加产量,但是施肥量已经超过了作物吸收量,造成了大量的氮素在土壤中累积,这无疑为 NO_3^- -N 的淋失提供了大量的氮源。同时也发现,该地区土壤水分渗漏的产生总是与灌溉或大的降雨时期相吻合,这为 NO_3^- -N 的淋失提供了载体。事实上,每次灌溉或大的降雨之后,都可观察到表层 NO_3^- -N 浓度降低,中、下层浓度增加,且地下水 NO_3^- -N 浓度增加的规律,尤其是经过 1a 控制实验后,这种现象更加明显(图 2,4)。由表 3 和表 4 可见,不同年度、不同生长季土壤 NO_3^- -N 淋失量的多少与土壤水分的下渗量密切相关。这说明在当地的水肥条件下, NO_3^- -N 能够向土壤深层迁移并有大量的 NO_3^- -N 从植物根区以下淋失掉,并且灌溉是当地土壤 NO_3^- -N 向深层迁移的主要因素(图 1)。秋浇是河套灌区的一种特殊灌溉制度,一般在 9 月下旬至 11 月中下旬进行的一次非生长季灌溉,是灌区内 1a 来灌水量最大的 1 次,约 1800~2000 m^3/hm^2 。秋浇引起了大量的土壤 NO_3^- -N 淋失,最大可达到 170 kg/hm^2 以上,这与笔者以前的研究结果相似^[11]。值得注意的是,在萝卜播种前的裸地灌溉中,土壤水分下渗量较大(图 3),这必然会引起较高的 NO_3^- -N 淋失,甚至在整个萝卜生长季节中都占有较大的份额。

3 结论

(1) 河套灌区农田生态系统土壤 NO_3^- -N 含量呈现表层低,中、下层高的趋势。由于土壤 NO_3^- -N 的迁移,中、下层土壤溶液中的 NO_3^- -N 浓度随着灌溉次数的增加而升高。

(2) 当前的灌溉条件下,不同年度、不同生长季土壤 NO_3^- -N 淋失量的多少与土壤水分的下渗量密切相关,且输入的氮素中有 30% 以上以 NO_3^- -N 的形式淋失掉。土壤 NO_3^- -N 的淋失主要发生在萝卜

播种前的裸地灌溉和秋浇。

(3) 在灌溉量和其他生产条件相同的情况下,施肥区井水 NO_3^- -N 浓度(17.55 ± 15.02) $\text{mg}\cdot\text{L}^{-1}$ 明显高于未施肥区浓度(7.67 ± 4.48) $\text{mg}\cdot\text{L}^{-1}$,且 65.5% 的水样 NO_3^- -N 浓度超过 WHO 规定的生活饮用水 NO_3^- -N 浓度上限值($11.3\text{mg}\cdot\text{L}^{-1}$)。可见施肥是地下水 NO_3^- -N 浓度增高的主要原因之一。

(4) 经过连续 2a 的春小麦与萝卜复种可使表层土壤 NO_3^- -N 含量明显降低。但由于中、下层土壤剖面中残留大量的 NO_3^- -N,因此在当前灌溉下,短期内 NO_3^- -N 淋失是不可避免的。

参考文献:

- [1] 朱兆良,文启孝.中国土壤氮素[M].南京:江苏科学技术出版社,1992: 213~ 249.
- [2] 朱兆良.农田中氮肥的损失与对策[J].土壤与环境,2000,9(1): 1~ 6.
- [3] Bin L L, Sakoda A, Shibasaki R, et al. A modeling approach to global nitrate leaching caused by anthropogenic fertilization [J]. Water Res., 2001, 35: 1961~ 1968.
- [4] Owen L B, Malone R W, Shipitalo M J, et al. Lysimeter study of nitrate leaching from a corn-soybean rotation[J]. J. Environ. Qual., 2000, 29: 467~ 474.
- [5] Owen L B, Van Keuren R W, Edwards W M. Groundwater quality changes resulting from a surface bromide application to a pasture[J]. J. Environ. Qual., 1985, 14: 543~ 548.
- [6] Aulakh M S, Khera T S, Doran J W, et al. Yield and nitrogen dynamics in a rice-wheat system using green manure and inorganic fertilizer[J]. Soil Sci. Soc. Am. J., 2000, 64: 1867~ 1875.
- [7] Pereira L S, Gilley J R, Jensen M E. Research agenda on sustainability of irrigated agriculture[J]. J. Irrig. Eng., 1996, 122: 172~ 177.
- [8] Watts D G, Hergert G W, Nichols J T. Nitrogen leaching losses from irrigated Orchard grass on sandy soils [J]. J. Environ. Qual., 1991, 20: 355~ 362.
- [9] Ritter W F. Nitrate leaching under irrigation in the United States—A review [J]. J. Environ. Sci. Health A, 1989, 24: 349~ 378.
- [10] Ottman M J, Tickes B R, Husman S H. Nitrogen-15 and bromide tracers of nitrogen fertilization movement in irrigated wheat production[J]. J. Environ. Qual., 2000, 29: 1500~ 1508.
- [11] 冯兆忠,王效科,冯宗炜,等.河套灌区秋浇对不同类型农田土壤氮素淋失的影响[J].生态学报,2003,23(10): 2027~ 2032.